

# V-7

## 軸方向集中荷重を受けるコンクリートパイプの応力分布に関する実験

九州大学 工学部 正員 德光善治  
 " " 正員 石川達夫  
 " " 学生員 大和竹史

### I. まえがき

コンクリートパイプは製作の容易さ、耐久性、価格低廉などの特徴により数多く用いられているが、最近、超硬練りコンクリートを用いて非常に強い外圧強度を有するパイプが製作されてきている。このパイプを布設する場合、掘さくして落しこむことは問題はないが、横穴を掘ってパイプを押し込む場合には、パイプに軸方向集中荷重が作用することになり、集中荷重が大きくなるとパイプ内にひびわれが生じることがあつた。このため、模型パイプに軸方向集中荷重を載荷して応力分布を実験的に調べてみた。

### II. 実験概要

実験に用いたコンクリートパイプは遠心力パイプで、製作手順は高速3分間に3回転、コンクリートをならし5分まで2分間で加速し、8分間締め固め、1分間で減速するものであり、のちに蒸気養生したものである。使用セメントはフライアッシュセメントB種(比重2.96)、細骨材は比重2.59、粗粒率2.62、粗骨材は比重2.82、粗粒率5.90である。コンクリート配合は $w/c = 36.3\%$ 、 $s/a = 45\%$ 、水 $= 200 \text{ kg}/\text{m}^3$ 、セメント $= 550 \text{ kg}/\text{m}^3$ 砂 $= 715 \text{ kg}/\text{m}^3$ 、粗骨材 $= 953 \text{ kg}/\text{m}^3$ でスランプ $= 7.1 \text{ cm}$ である。標準供試体( $\phi 10 \times 20 \text{ cm}$ )は各荷重につき3本作製し標準養生を行ない7日、28日で圧縮強度試験を行なつた。その結果、7日強度は $398 \text{ kg}/\text{cm}^2$ 、28日強度は $506 \text{ kg}/\text{cm}^2$ であった。

コンクリートパイプ模型の寸法は図-1に示す様に厚さ3cm、高さ30cmで外径25cmである。載荷形式は図-2に示す様な半円形断面を有する鉄片を用いるものとし、載荷位置はゲージ位置よりパイプ外周に沿って0, 2.5, 5.0, 10.0cmの所とした。測定は図-1に示す箇所に直角型3方向ゲージを貼付しひずみ測定を各荷重段階毎に測定した。荷重は1ton(片方500kg)で零セットを行ない、2t, 3t, 4tで測定を行なつた。

### III. 実験結果

載荷幅が3.8cmの場合の荷重下鉄直面における最大主応力 $\sigma_1$ 、最小主応力 $\sigma_3$ 、最大せん断応力 $T_{max}$ を各負における3方向ゲージから算出せしめ、図-3、図-4に示す。載荷位置を変えて行なつたデータより、載荷重直下付近の鉄直面の $\sigma_1$ の分布を図-5、図-6に

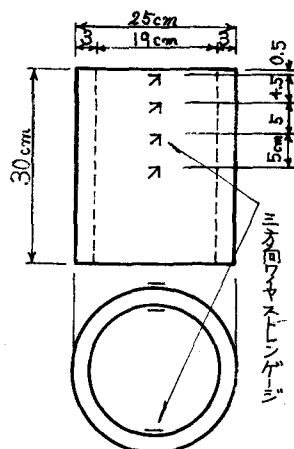


図-1

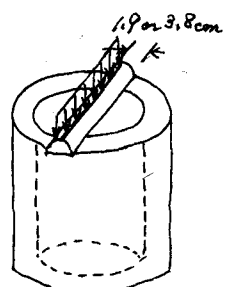


図-2

示し、 $\sigma_2$ の等応力度線を破線で示した。荷重方向を $y$ 軸に、荷重直角方向を $x$ 軸にとり各々の方向の応力を $\sigma_y, \sigma_x$ とする。図-7-1は載荷点より鉛直距離で $0, 5, 10, 15$ cm はなれた水平面上の $\sigma_y$ 分布を示し、図-8-1は載荷軸上に沿う $\sigma_x$ の分布を示す。また横ひずみの分布を図-9に示す。

#### IV. 考察

パイプ上端に集中荷重が作用し下端は全面で支持されている場合、鉛直方向応力の分布は上端から下端に移るにつれて不連続分布から連續分布になってゆく。このために水平方向と水平方向および鉛直方向のせん断力が生じなければならぬから、上端より鉛直方向応力分布が大体連続となるまでの区间では横方向に引張を受けることになる。しかし、この $\sigma_x$ の分布は複雑であり、 $\sigma_x=0$ である零点は荷重幅がせまくなれば上端に近くなり、荷重幅が大きくなれば遠くなる。この零点を知る為に水平方向にゲージを並べて貼付する必要があるが今回は鉛直間隔が大きいため零点を正確に求めることは出来なかつた。しかし、実用上は、あらゆる部分について弾性状態を明らかにすることは不要であり、最も危険な断面についての応力を調べれば実用に十分であると考えられる。図-3と図-4を比較してみるとパイプの外側と内側におけるひずみ、したがって応力は平均しておらず、内側の方がかなり、その絶対値が大きい。この理由としては、達心力がパイプであるから、外側と内側でコンクリートの強度、弾性係数が違つてること、図-2に示した様な載荷時に載荷重を加えるわけであるから、荷重分担が一様でなく

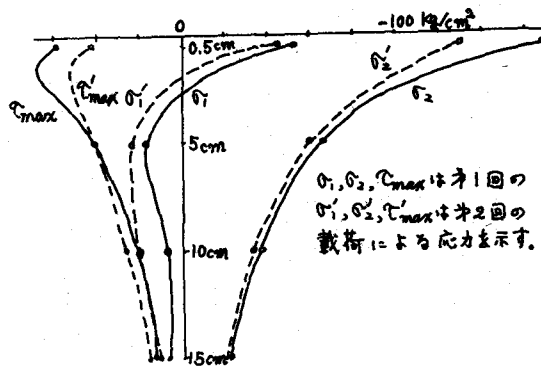


図-3. 荷重3t, 荷重幅3.8cm  
パイプ内側

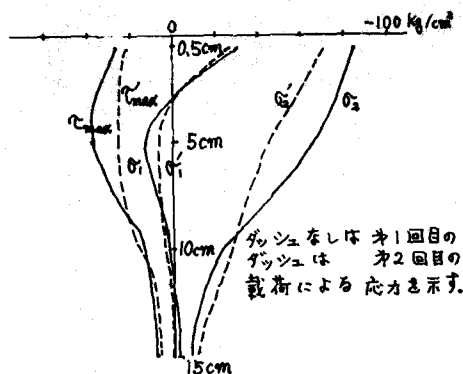


図-4. 荷重3t, 荷重幅3.8cm  
パイプ外側

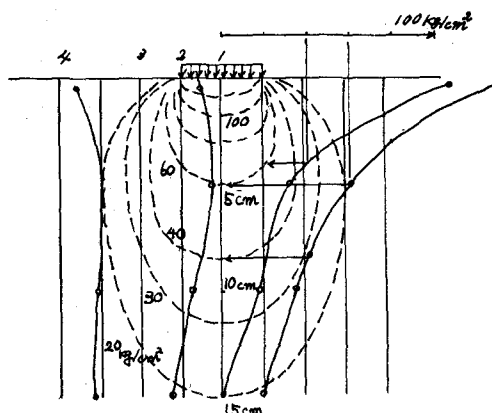


図-5. 荷重3t, 荷重幅3.8cm  
パイプ内側

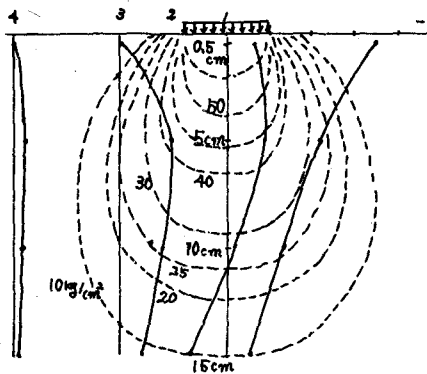


図-6 荷重3t、載荷幅3.8cm  
11°アーチ外側

内側で大きく外側で小さくなり、半径方向に梯形分布をしめすこと等が挙げられる。

#### V. あとがき

本実験がコンクリートパイプの補強筋配筋方法に寄与することはデータ不足で無理であるが一応、弾性内の応力分布が得られたことは今後の課題として、最も不利な箇所の応力と載荷重との関係を定量的に明らかにしなければならない。これが明らかになれば、施工時にひびわれがはいつて破壊するのを軽減する為の鉄筋量やその配置位置が決定できるわけである。

本実験に力をわざわざして奥村組K.K  
白石文雄氏に深謝いたします。

#### 参考文献

Analysis of Stress and Strain : McGRAW-HILL

フレストレストコンクリート : Y.ギヨン

The Theory of Flaw and Fracture of Solids : NADAI

The Theory of Elasticity : TIMOSHENKO AND GOODIER

MÉMOIRES ABHANDLUNGEN PUBLICATIONS : ASSOCIATION INTERNATIONALE DES PONTS ET CHARPENTES  
ONZIÈME VOLUME . 1951

応力測定法 : 応力測定研究会編

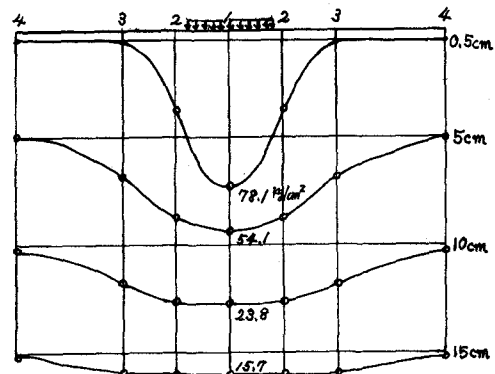


図-7 荷重3t、載荷幅3.8cm  
 $O_2$ 分布(パイプ外側)

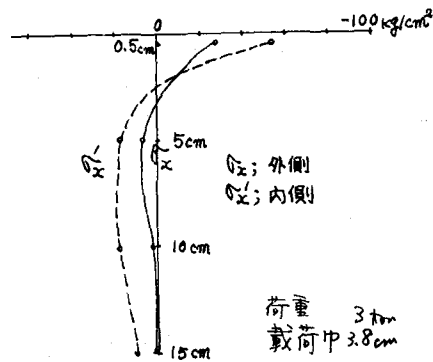


図-8  $O_2$ 分布

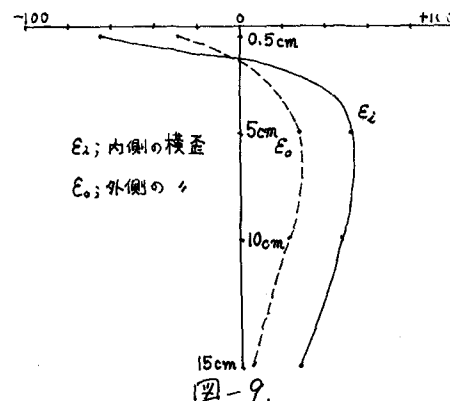


図-9.